

В. А. ДЕНИСОВ, Ю. И. СТЕБЛЕВ,  
В. И. ШАТЕРНИКОВ

## РАСЧЕТ ПАРАМЕТРОВ ПРОВОДНИКОВОГО ВИХРЕТОКОВОГО ДАТЧИКА

При экспериментальных и теоретических исследованиях вихре-токовых проводниковых датчиков применительно к практическим задачам контроля необходимо знать зависимость его параметров — комплексного сопротивления  $Z$ , индуктивности  $L_1$  и вносимого активного сопротивления  $R_1$  от измеряемых величин и мешающих факторов.

В данной работе определяются параметры вихретокового проводникового датчика без ферритового сердечника, находящегося над проводящей полуплоскостью или над ограниченной с двух сторон проводящей поверхностью. Расположение датчика над контролируемой поверхностью, система координат и все обозначения приняты те же, что и при расчете его поля [1].

Для вывода перечисленных выше зависимостей воспользуемся известным положением о том, что ток  $I$ , протекающий через нить, должен скомпенсировать не только падение напряжения от собственного полного сопротивления нити  $Z_0$ , но и падение напряжения от полного сопротивления проводящей поверхности  $Z_i$ , приведенное к первичной стороне. Падение напряжения на отрезке провода длиной  $l$  может быть выражено через напряженность поля  $E_{10}$  на поверхности провода:

$$I \cdot \dot{Z}_1 = (R_1 + j\omega L_1)I = \dot{E}_{10} \cdot l. \quad (1)$$

Определим  $\dot{E}_{10}$ , воспользовавшись формулой

$$\dot{E}_{10} = -j\omega A_{10}, \quad (2)$$

где  $A_{10}$  — вектор-потенциал внешнего поля в точке с координатами  $v=v_0$ ;  $u=0$ .

Используя [1, 2], где дается выражение для  $A_1$ , получим

$$Z_1 = \frac{\dot{E}_{10} \cdot l}{J} = -j \omega \mu_1 \frac{l}{2\pi} \left[ \ln \sqrt{\frac{(v_0 + v)^2 + u^2}{(v_0 - v)^2 + u^2}} - 2 \int_0^{\infty} \frac{-e^{-2v_0 \lambda}}{\lambda + \sqrt{\lambda^2 + jk^2}} d\lambda \right] \quad (3)$$

1-й член для координат  $v = v_0$ ;  $u = 0$  является физической неопределенностью, и, чтобы от нее избавиться, вводится радиус прохода  $r_0$ , после чего это слагаемое примет вид

$$\lim_{\substack{v \rightarrow v_0 \\ u \rightarrow 0}} \ln \sqrt{\frac{(v_0 + v)^2 + u^2}{(v_0 - v)^2 + u^2}} = \ln \frac{R_0}{2v_0} \quad \text{при } v_0 \gg r_0, \quad (4)$$

где  $R_0 = \text{sh} \frac{\pi r_0}{2x_0}$ .

Для нахождения 2-го слагаемого в выражении (3) требуется вычислить интеграл

$$L = \int_0^{\infty} \frac{e^{-2v_0 \lambda}}{\lambda + \sqrt{\lambda^2 + jk^2}} d\lambda. \quad (5)$$

Согласно [3] он выражается в конечном виде через функции Струве  $H_\nu$  и Неймана  $N_\nu$  комплексного аргумента:

$$L = \frac{\pi}{2 \sqrt{2} k_1 v_0 (1+j)} \{H_1[\sqrt{2} v_0 k_1 (1+j)] - N_1[\sqrt{2} v_0 k_1 (1+j)]\} - \frac{1}{j 4 v_0^2 k_1^2} \quad (6)$$

Однако применять для каких-либо расчетов выражение (6) не представляется возможным, поэтому преобразуем его с помощью асимптотического представления функции Струве [3].

$$H_\nu(\xi) = N_\nu(\xi) + \frac{1}{\pi} \sum_{m=0}^{p-1} \frac{\Gamma\left(m + \frac{1}{2}\right) \left(\frac{\xi}{2}\right)^{-2m + \nu - 1}}{\Gamma\left(\nu + \frac{1}{2} - m\right)^2} + O(|\xi|^{-2p-1}). \quad (7)$$

Эта формула применяется для больших значений  $|\xi| = 2v_0 k_1$  и не пригодна при достаточно малых  $|\xi|$ .

Если задаться относительной погрешностью (1%), то  $|\xi|$  должно быть больше 5. В этом случае берется один или два члена ряда (7) и окончательное выражение для  $Z_1$  записывается в виде:

$$\dot{z} = -\frac{\mu_0 \omega l}{\pi} \left[ \frac{1}{2k_1^2 v_0^2} - \frac{1}{\sqrt{2} k_1 \cdot v_0} + j \left( \ln \frac{R_0}{2v_0} - \frac{1}{\sqrt{2} k_1 v_0} \right) \right]. \quad (8)$$

Определим  $L$  другим способом, выделив в (8) действительную и мнимую части подынтегрального выражения и проделав необходимые операции, получим

$$\int_0^{\infty} \frac{l^{-2v_0 \lambda}}{\lambda + \sqrt{k^2 + \lambda^2}} d\lambda L = j \left( \frac{1}{4v_0^2 k_1^2} - \frac{1}{\sqrt{2} k_1^2} \int_0^{\infty} \sqrt{\lambda^4 + k_1^4 + \lambda^2} l^{-2v_0 \lambda} d\lambda + \right.$$

$$+ \frac{1}{\sqrt{2} k_1^2} \int_0^{\infty} \sqrt{\lambda^4 + k_1^4 - \lambda^2} l^{-2v_0 \lambda} d\lambda. \quad (9)$$

Несобственные интегралы

$$c = \frac{1}{\sqrt{2} k_1^2} \int_0^{\infty} \sqrt{\lambda^4 + k_1^4 - \lambda^2} l^{-2v_0 \lambda} d\lambda, \quad (10)$$

$$d = \frac{1}{\sqrt{2} k_1^2} \int_0^{\infty} \sqrt{\lambda^4 + k_1^4 + \lambda^2} l^{-2v_0 \lambda} d\lambda \quad (11)$$

могут быть вычислены на ЭВМ. Запишем короче

$$L = c + j \left( \frac{1}{4v_0^2 k_1^2} - d \right). \quad (12)$$

Рассмотрим некоторые особенности поведения интегралов  $c$  и  $d$ , необходимые для оценки остаточного члена при приближенном интегрировании и зависимость  $L$  от параметра  $k_1$ .

1. При  $k_1=0$  выкладки (10) ÷ (11) теряют смысл, но сам интеграл  $L$  упрощается:

$$\int_0^{\infty} \frac{l^{-2v_0 \lambda}}{2\lambda} d\lambda = \ln \sqrt{2v_0}. \quad (13)$$

2. Оценка погрешности при приближенном вычислении несобственных интегралов  $c$  и  $d$ . Если ввести новую переменную  $\xi = v_0 \lambda$ , то интеграл  $c$  переходит в другую форму

$$c = \frac{1}{\sqrt{2} m} \int_0^{\infty} \sqrt{\sqrt{\left(\frac{\xi}{m}\right)^4 + 1} - \left(\frac{\xi}{m}\right)^2} l^{-2\xi} d\xi, \quad (14)$$

где  $m = v_0 k_1$ .

Очевидно, что этот интеграл — функция только  $m$ . Рассмотрим остаточный член при интегрировании:

$$\begin{aligned} \Delta &= \frac{1}{\sqrt{2} m} \int_q^{\infty} \sqrt{\sqrt{\left(\frac{\xi}{m}\right)^4 + 1} - \left(\frac{\xi}{m}\right)^2} l^{-2\xi} d\xi \leq \\ &\leq \frac{1}{\sqrt{2} m} \int_q^{\infty} l^{-2\xi} d\xi = \frac{1}{2\sqrt{2} m} l^{-2q}, \end{aligned} \quad (15)$$

$$q > \frac{1}{2} \ln \frac{1}{2\sqrt{2} m \Delta}. \quad (16)$$

Аналогичная оценка может быть выполнена и для интеграла  $d$ ,

$$\Delta = \frac{1}{\sqrt{2} m} \int_0^{\infty} \sqrt{\sqrt{\left(\frac{\xi}{m}\right)^4 + 1} + \left(\frac{\xi}{m}\right)^2} l^{-2\xi} d\xi \leq$$

$$\leq \frac{1}{m^2} \int_0^{\infty} \xi e^{-2\xi} d\xi = \frac{1}{4m^2} (2q + 1) e^{-2q}, \quad (17)$$

$$\text{где } 4m^2 \Delta < (2q + 1) e^{-2q}. \quad (18)$$

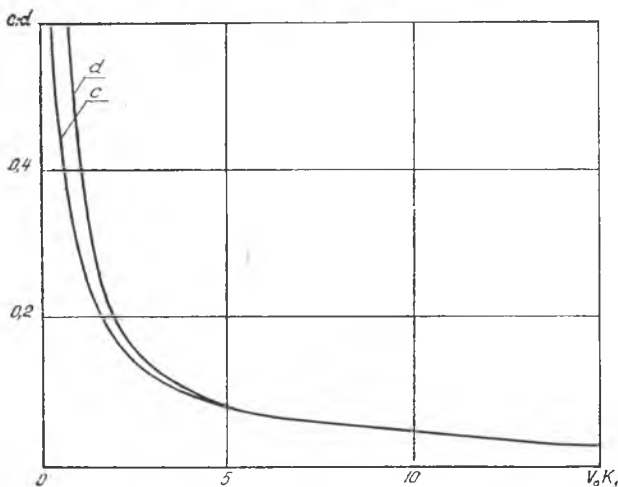


Рис. 1. Интегралы  $c$  и  $d$

Эти результаты используются для оценки погрешности при вычислении интегралов  $c$  и  $d$ .

Расчет интегралов  $c$  и  $d$  был произведен на ЭВМ «Проминь-М». Результаты расчета приведены на рис. 1.

При значениях  $v_0 k_1 > 2$  интегралы  $c$  и  $d$  равны. В этом случае искомый интеграл равен

$$L = \frac{1}{2v_0 k_1} + j \frac{1 - 2v_0 k_1}{4v_0^2 k_1^2}. \quad (19)$$

Аппроксимируя интегралы  $c$  и  $d$  (рис. 1), для  $v_0 k_1 > 1,5$  и  $v_0 k_1 < 1,5$ , получим:

$$z_1 = -\frac{\mu_0 \omega l}{\pi} \left[ \frac{1}{2k_1^2 v_0^2} - \frac{1}{\sqrt{2} k_1 v_0} + j \left( \ln \frac{R_0}{2v_0} - \frac{1}{\sqrt{2} k_1 v_0} \right) \right] \quad (20)$$

для  $v_0 k_1 > 1,5$ .

$$z_1 = -\frac{\mu_0 \omega \cdot l}{2\pi} \left[ \frac{1}{2v_0^2 k_1^2} - \frac{2}{1,9v_0 k_1} + j \left( \ln \frac{R_0}{2v_0} - \frac{1}{1,4v_0 k_1} \right) \right] \quad (21)$$

для  $v_0 k_1 < 1,5$ .

После перехода к системе координат  $X-Y$  окончательно получим

$$R_1 = \frac{\omega \mu_0 \cdot l}{2\sqrt{2} \cdot x_0 k \operatorname{sh} \frac{\pi y_0}{2x_0}} \left( 1 - \frac{\pi}{2\sqrt{2} x_0 k \operatorname{sh} \frac{\pi y_0}{2x_0}} \right), \quad (22)$$

$$X_1 = \frac{\omega \cdot \mu_0 l}{\pi} \left( -\ln \frac{R_0}{2 \operatorname{sh} \frac{\pi y_0}{2x_0}} + \frac{\pi}{2 \sqrt{2} k x_0 \operatorname{sh} \frac{\pi y_0}{2x_0}} \right) \quad (23)$$

для  $v_0 k_1 > 1,5$ .

$$R_1 = \frac{\omega \mu_0 l}{2x_0 k \cdot \operatorname{sh} \frac{\pi y_0}{2x_0}} \left( 0,526 - \frac{\pi}{8 k x_0 \operatorname{sh} \frac{\pi y_0}{2x_0}} \right), \quad (24)$$

$$X_1 = \frac{\omega \mu_0 l}{2\pi} \left( -\ln \frac{R_0}{2v_0} + \frac{\pi}{2,8 k x_0 \cdot \operatorname{sh} \frac{\pi y_0}{2x_0}} \right) \quad (25)$$

для  $v_0 k_1 < 1,5$ .

Таким образом, получены приближенные выражения для расчета параметров проводниковых вихретоковых датчиков. Более точные результаты можно получить, произведя графо-аналитический расчет.

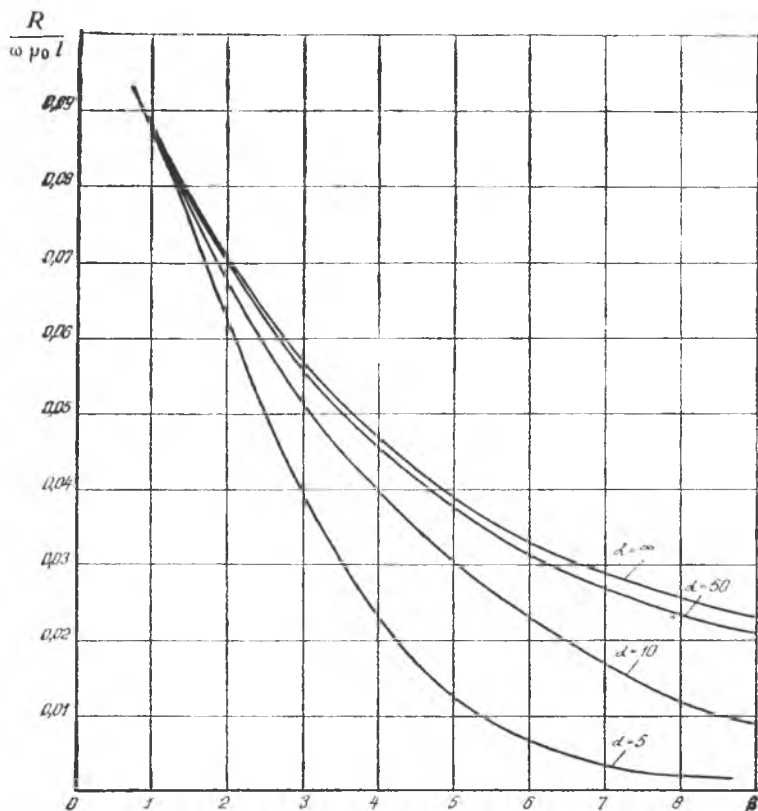


Рис. 2. Зависимость вносимого активного сопротивления от  $\beta = \kappa y_0$  для различных значений  $\alpha = 2x_0 k$

Для случая полупространства, т. е.  $2x_0 \gg y_0$  будем иметь следующие выражения:

$$R_1 = \frac{\omega \mu_0 l}{\pi \sqrt{2} k y_0} \left( 1 - \frac{1}{\sqrt{2} k y_0} \right), \quad (26)$$

$$X_1 = \frac{\omega \mu_0 l}{\pi} \left( -\ln \frac{R_0}{2v_0} + \frac{1}{\sqrt{2} k y_0} \right) \quad (27)$$

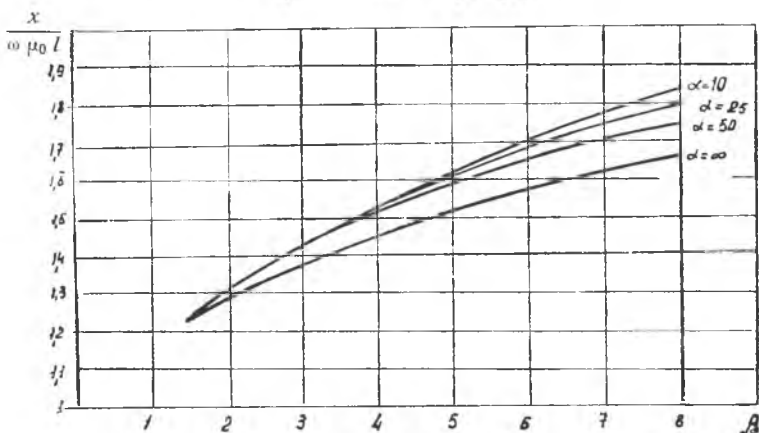


Рис. 3. Зависимость вносимого реактивного сопротивления от  $\beta = k y_0$  для различных значений  $\alpha$

По формулам (22—27) построены графики, которые приведены на рис. 2, 3.

Пользуясь выражениями (22÷25), можно определить погрешность измерения датчика в зависимости от толщины пластины.

Пример. При  $k=0,025$ ,  $y_0=150$  мкм, а  $x_0=1500$  мкм, получим  $\frac{R_1}{\omega \mu_0 l} = 0,048$ . Допустим, что пластина по ширине имеет допуск  $\pm 10\%$ , тогда  $\frac{R_1}{\omega \mu_0 \Delta} = 0,0466$ , т. е. погрешность  $\delta\% = \frac{\Delta R_1}{R_1} \cdot 100\% = 2,92\%$ .

Эту погрешность можно определить и графически при разных  $k$ , т. е. для различных материалов. Полученные теоретические кривые подтверждены экспериментально.

Из графиков (рис. 2, 3), видно, что при  $\frac{y_0}{2x_0} < 0,2$  для приведенных  $k$  пластину можно рассматривать как бесконечную по оси  $x$ .

Таким образом, теоретические и экспериментальные исследования показывают, что при  $\frac{y_0}{2x_0} < 0,2$  ширина пластины практически не влияет на результаты вычислений, и действие ее на вносимые параметры датчика можно рассматривать как действие проводящего полупространства, при этом погрешность не превышает  $10\%$ .

## ЛИТЕРАТУРА

1. Автоматические измерительные и регулирующие устройства, вып. VI, г. Куйбышев, 1970.
  2. М. Штафль. Электродинамические задачи в электрических машинах, г. Москва, 1966.
  3. И. Е. Градштейн и И. М. Рыжик. Таблицы интегралов, сумм, рядов и произведений, Москва, ФМ, 1963.
- 
-